

Deducción de la ecuación $\mathbf{K}^{(e)} \mathbf{a}^{(e)} - \mathbf{f}^{(e)} = \mathbf{q}^{(e)}$ para un EF bidimensional de n nodos

A continuación no se escribirá el superíndice $^{(e)}$, en varias de las ecuaciones, para evitar saturar la notación.

1. Se definen los campos vectoriales de desplazamientos y de desplazamientos virtuales

Se interpolan los desplazamientos al interior del EF:

$$u(x, y) = \sum_{i=1}^n N_i(x, y) u_i = N_1(x, y) u_1 + N_2(x, y) u_2 + \cdots + N_n(x, y) u_n$$
$$v(x, y) = \sum_{i=1}^n N_i(x, y) v_i = N_1(x, y) v_1 + N_2(x, y) v_2 + \cdots + N_n(x, y) v_n.$$

Observe que se están empleando las mismas funciones de forma para interpolar los desplazamientos u y v . De hecho, no existe razón alguna para utilizar funciones de forma diferentes para la interpolación de u y de v .

Las ecuaciones anteriores se pueden escribir matricialmente como:

$$\underbrace{\begin{bmatrix} u(x, y) \\ v(x, y) \end{bmatrix}}_{\mathbf{u}(x, y)} = \underbrace{\begin{bmatrix} N_1(x, y) & 0 & N_2(x, y) & 0 & \cdots & N_n(x, y) & 0 \\ 0 & N_1(x, y) & 0 & N_2(x, y) & \cdots & 0 & N_n(x, y) \end{bmatrix}}_{\mathbf{N}(x, y)} \underbrace{\begin{bmatrix} u_1 \\ v_1 \\ u_2 \\ v_2 \\ \vdots \\ u_n \\ v_n \end{bmatrix}}_{\mathbf{a}},$$

es decir,

$$\mathbf{u}^{(e)}(x, y) = \mathbf{N}^{(e)}(x, y) \mathbf{a}^{(e)}.$$

Análogamente, a como se hizo con el EF de barra, los desplazamientos virtuales al interior del elemento son:

$$\delta u(x, y) = \sum_{i=1}^n N_i(x, y) \delta u_i \qquad \delta v(x, y) = \sum_{i=1}^n N_i(x, y) \delta v_i,$$

y ambos se expresan en forma matricial como:

$$\delta \mathbf{u}^{(e)}(x, y) = \mathbf{N}^{(e)}(x, y) \delta \mathbf{a}^{(e)}. \tag{1}$$

Los términos expresados en las ecuaciones anteriores son:

$\mathbf{u}^{(e)}(x, y)$ campo vectorial de desplazamientos del elemento e .

$\mathbf{N}^{(e)}(x, y)$ matriz de funciones de forma (locales) del elemento e .

$\mathbf{a}^{(e)}$ vector de desplazamientos nodales del elemento e .

$\delta \mathbf{a}^{(e)}$ vector de desplazamientos virtuales nodales del elemento e .

2. Se definen los campos vectoriales de deformaciones y de deformaciones virtuales

Las deformaciones longitudinales del EF están dadas por:

$$\begin{aligned}\varepsilon_x(x, y) &= \frac{\partial u(x, y)}{\partial x} = \frac{\partial}{\partial x} \left(\sum_{i=1}^n N_i(x, y) u_i \right) = \sum_{i=1}^n \frac{\partial N_i(x, y)}{\partial x} u_i \\ \varepsilon_y(x, y) &= \frac{\partial v(x, y)}{\partial y} = \frac{\partial}{\partial y} \left(\sum_{i=1}^n N_i(x, y) v_i \right) = \sum_{i=1}^n \frac{\partial N_i(x, y)}{\partial y} v_i,\end{aligned}$$

y las deformaciones angulares por:

$$\gamma_{xy}(x, y) = \frac{\partial u(x, y)}{\partial y} + \frac{\partial v(x, y)}{\partial x} = \frac{\partial}{\partial x} \left(\sum_{i=1}^n N_i(x, y) v_i \right) + \frac{\partial}{\partial y} \left(\sum_{i=1}^n N_i(x, y) u_i \right) = \sum_{i=1}^n \frac{\partial N_i(x, y)}{\partial x} v_i + \sum_{i=1}^n \frac{\partial N_i(x, y)}{\partial y} u_i,$$

es decir,

$$\begin{aligned}\varepsilon_x &= +\frac{\partial N_1}{\partial x} u_1 + \frac{\partial N_2}{\partial x} u_2 + \cdots + \frac{\partial N_n}{\partial x} u_n \\ \varepsilon_y &= +\frac{\partial N_1}{\partial y} v_1 + \frac{\partial N_2}{\partial y} v_2 + \cdots + \frac{\partial N_n}{\partial y} v_n \\ \gamma_{xy} &= +\frac{\partial N_1}{\partial y} u_1 + \frac{\partial N_1}{\partial x} v_1 + \frac{\partial N_2}{\partial y} u_2 + \frac{\partial N_2}{\partial x} v_2 + \cdots + \frac{\partial N_n}{\partial y} u_n + \frac{\partial N_n}{\partial x} v_n.\end{aligned}$$

Las ecuaciones anteriores se pueden expresar en forma matricial como:

$$\underbrace{\begin{bmatrix} \varepsilon_x \\ \varepsilon_y \\ \gamma_{xy} \end{bmatrix}}_{\boldsymbol{\varepsilon}(x,y)} = \underbrace{\begin{bmatrix} \frac{\partial N_1}{\partial x} & 0 & \frac{\partial N_2}{\partial x} & 0 & \dots & \frac{\partial N_n}{\partial x} & 0 \\ 0 & \frac{\partial N_1}{\partial y} & 0 & \frac{\partial N_2}{\partial y} & \dots & 0 & \frac{\partial N_n}{\partial y} \\ \frac{\partial N_1}{\partial y} & \frac{\partial N_1}{\partial x} & \frac{\partial N_2}{\partial y} & \frac{\partial N_2}{\partial x} & \dots & \frac{\partial N_n}{\partial y} & \frac{\partial N_n}{\partial x} \end{bmatrix}}_{\mathbf{B}(x,y)} \underbrace{\begin{bmatrix} u_1 \\ v_1 \\ u_2 \\ v_2 \\ \vdots \\ u_n \\ v_n \end{bmatrix}}_{\mathbf{a}},$$

es decir,

$$\boldsymbol{\varepsilon}^{(e)}(x, y) = \mathbf{B}^{(e)}(x, y) \mathbf{a}^{(e)}.$$

De forma análoga a como se hizo con el EF de barra, las deformaciones virtuales al interior del elemento están dadas por:

$$\delta \boldsymbol{\varepsilon}^{(e)}(x, y) = \mathbf{B}^{(e)}(x, y) \delta \mathbf{a}^{(e)}. \quad (2)$$

Los términos expresados en las ecuaciones anteriores son:

$\boldsymbol{\varepsilon}^{(e)}(x, y)$ campo vectorial de deformaciones del elemento e .

$\mathbf{B}^{(e)}(x, y)$ matriz de deformaciones del elemento e .

$\mathbf{a}^{(e)}$ vector de desplazamientos nodales del elemento e .

$\delta \mathbf{a}^{(e)}$ vector de desplazamientos virtuales nodales del elemento e .

3. Se define el campo vectorial de esfuerzos

Para un elemento finito sujeto a deformaciones y esfuerzos iniciales, el campo vectorial de esfuerzos está dado por:

$$\begin{aligned}\boldsymbol{\sigma}(x, y) &= \mathbf{D}(x, y) (\boldsymbol{\varepsilon}(x, y) - \boldsymbol{\varepsilon}_0(x, y)) + \boldsymbol{\sigma}_0(x, y) \\ &= \mathbf{D}(x, y) (\mathbf{B}(x, y)\mathbf{a} - \boldsymbol{\varepsilon}_0(x, y)) + \boldsymbol{\sigma}_0(x, y),\end{aligned}$$

es decir,

$$\boldsymbol{\sigma}^{(e)}(x, y) = \mathbf{D}^{(e)}(x, y)\mathbf{B}^{(e)}(x, y)\mathbf{a}^{(e)} - \mathbf{D}^{(e)}(x, y)\boldsymbol{\varepsilon}_0^{(e)}(x, y) + \boldsymbol{\sigma}_0^{(e)}(x, y). \quad (3)$$

Tenga en cuenta que $\boldsymbol{\sigma}(x, y) = [\sigma_x(x, y), \sigma_y(x, y), \tau_{xy}(x, y)]^T$.

Aquí:

$\boldsymbol{\sigma}^{(e)}(x, y)$ campo vectorial de esfuerzos del elemento e .

$\mathbf{D}^{(e)}(x, y)$ matriz constitutiva del elemento e .

$\mathbf{B}^{(e)}(x, y)$ matriz de deformaciones del elemento e .

$\mathbf{a}^{(e)}$ vector de desplazamientos nodales del elemento e .

$\boldsymbol{\varepsilon}_0^{(e)}(x, y)$ campo vectorial de deformaciones iniciales del elemento e .

$\boldsymbol{\sigma}_0^{(e)}(x, y)$ campo vectorial de esfuerzos iniciales del elemento e .

4. Se reemplaza en el principio de los trabajos virtuales

Haciendo $\mathbf{x} = [x, y]^T$, y teniendo en cuenta las fuerzas que se muestran en la Figura 1, escribimos el PTV en 2D:

$$\underbrace{t \iint_A \delta \boldsymbol{\varepsilon}^T(\mathbf{x}) \boldsymbol{\sigma}(\mathbf{x}) \, dA}_{\text{trabajo realizado por las deformaciones virtuales sobre los esfuerzos en el EF}} = \underbrace{t \iint_A \delta \mathbf{u}^T(\mathbf{x}) \mathbf{b}(\mathbf{x}) \, dA}_{\text{trabajo realizado por las fuerzas másicas sobre los desplazamientos virtuales en el EF}} + \underbrace{t \oint_{\partial A} \delta \mathbf{u}^T(\mathbf{x}(s)) \mathbf{t}(\mathbf{x}(s)) \, ds}_{\text{trabajo realizado por las fuerzas superficiales (que actúan en el contorno del EF) sobre los desplazamientos virtuales en el EF}} + \underbrace{\sum_{i=1}^n \delta \mathbf{u}^T(\mathbf{x}_i) \mathbf{p}_i}_{\text{trabajo realizado por las fuerzas puntuales aplicadas sobre los nodos del EF sobre sus correspondientes desplazamientos virtuales}} + \underbrace{\sum_{i=1}^n \delta \mathbf{u}^T(\mathbf{x}_i) \mathbf{q}_i}_{\text{trabajo realizado por las fuerzas nodales de equilibrio sobre los desplazamientos virtuales de los nodos del EF}}. \quad (4)$$

donde:

- $t^{(e)}$ espesor del elemento e .
- $A^{(e)}$ región del plano asociada al EF e , sobre la cual se realiza la integración.
- $\boldsymbol{\sigma}^{(e)}(x, y)$ campo vectorial de esfuerzos del elemento e .
- $\mathbf{b}^{(e)}(x, y)$ vector de fuerzas másicas asociadas al elemento e .
- $\mathbf{t}^{(e)}(x(s), y(s))$ vector de fuerzas superficiales que actúan en el contorno del elemento e .
- $\mathbf{p}_i^{(e)}$ vector de fuerzas puntuales aplicadas sobre el nodo i -ésimo del EF e .
- $\mathbf{q}_i^{(e)}$ vector de fuerzas nodales de equilibrio del nodo i -ésimo del EF e .
- $\delta \mathbf{u}_i^{(e)}$ vector de desplazamiento virtual asociado al nodo i -ésimo del elemento e .
- $\delta \boldsymbol{\varepsilon}^{(e)}(x, y)$ campo vectorial de deformaciones virtuales del elemento e .

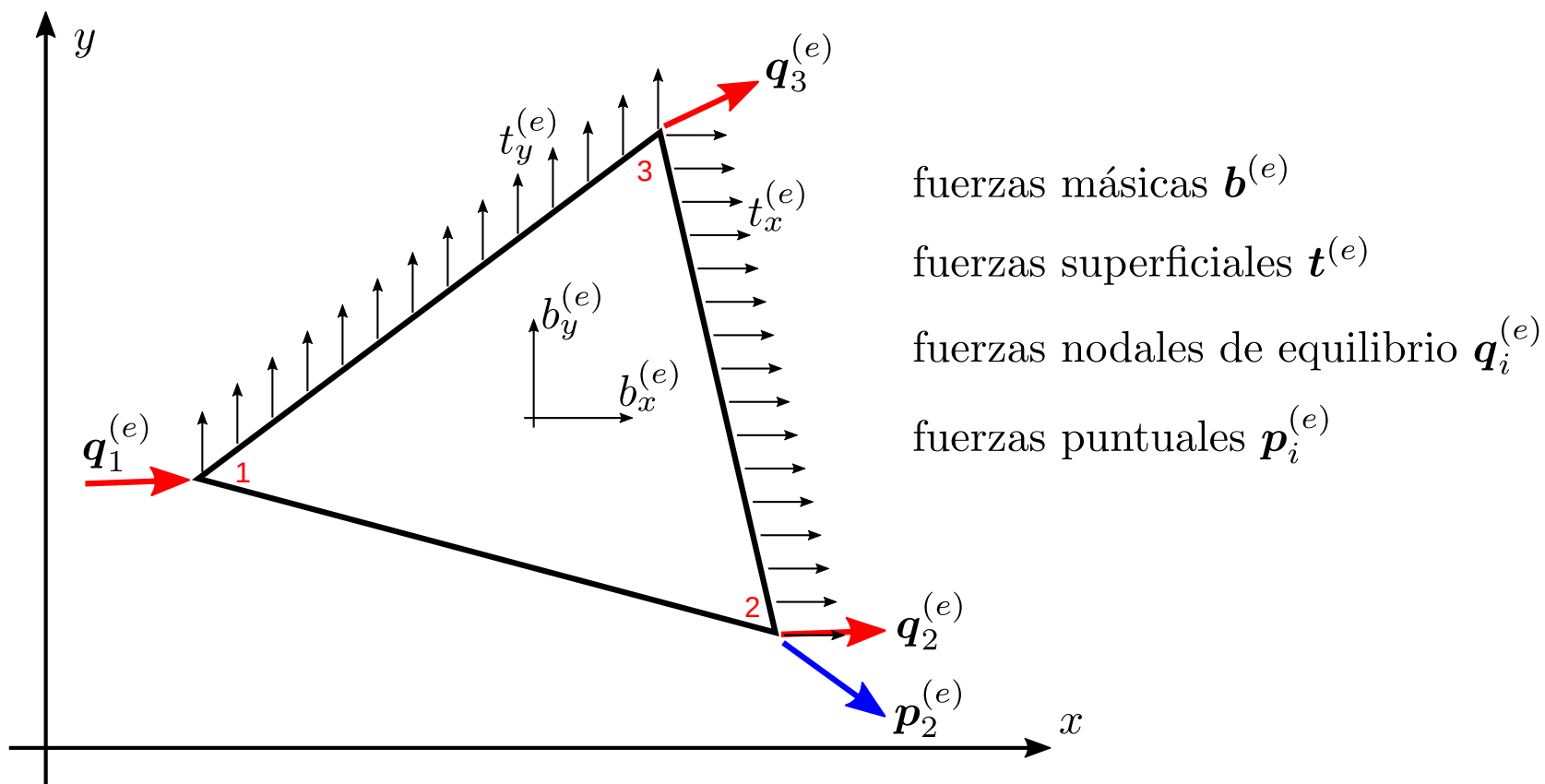


Figura 1: Fuerzas que actúan sobre un elemento finito

Observe que $\delta \boldsymbol{\varepsilon}^T \boldsymbol{\sigma} := \sigma_x \delta \varepsilon_x + \sigma_y \delta \varepsilon_y + \tau_{xy} \delta \gamma_{xy} + \overbrace{\sigma_z \delta \varepsilon_z + \tau_{xz} \delta \gamma_{xz} + \tau_{yz} \delta \gamma_{yz}}^{=0}$ (esta expresión denota el trabajo virtual interno por unidad de volumen en un punto \mathbf{x} dado). El término señalado vale cero ya que en tensión plana $\sigma_z = \tau_{xz} = \tau_{yz} = 0$ y en deformación plana $\varepsilon_z = \gamma_{xz} = \gamma_{yz} = 0$.

A partir de las ecuaciones (1) y (2), y teniendo en cuenta que $(\mathbf{AB})^T = \mathbf{B}^T \mathbf{A}^T$, se obtiene:

$$\delta \mathbf{u}^T(\mathbf{x}) = \delta \mathbf{a}^T \mathbf{N}^T(\mathbf{x}) \quad \delta \boldsymbol{\varepsilon}^T(\mathbf{x}) = \delta \mathbf{a}^T \mathbf{B}^T(\mathbf{x}).$$

Reemplazando las dos ecuaciones anteriores en (4), resulta:

$$t \iint_A \delta \mathbf{a}^T \mathbf{B}^T(\mathbf{x}) \boldsymbol{\sigma}(\mathbf{x}) \, dA = t \iint_A \delta \mathbf{a}^T \mathbf{N}^T(\mathbf{x}) \mathbf{b}(\mathbf{x}) \, dA + t \oint_{\partial A} \delta \mathbf{a}^T \mathbf{N}^T(\mathbf{x}(s)) \mathbf{t}(\mathbf{x}(s)) \, ds + \sum_{i=1}^n \delta \mathbf{u}^T(\mathbf{x}_i) \mathbf{p}_i + \sum_{i=1}^n \delta \mathbf{u}^T(\mathbf{x}_i) \mathbf{q}_i. \quad (5)$$

Ahora, teniendo en cuenta que:

$$\mathbf{p} = \begin{pmatrix} \mathbf{p}_1 \\ \mathbf{p}_2 \\ \vdots \\ \mathbf{p}_n \end{pmatrix} \quad \mathbf{q} = \begin{pmatrix} \mathbf{q}_1 \\ \mathbf{q}_2 \\ \vdots \\ \mathbf{q}_n \end{pmatrix} \quad \mathbf{a} = \begin{pmatrix} \mathbf{a}_1 \\ \mathbf{a}_2 \\ \vdots \\ \mathbf{a}_n \end{pmatrix} = \begin{pmatrix} \mathbf{u}(\mathbf{x}_1) \\ \mathbf{u}(\mathbf{x}_2) \\ \vdots \\ \mathbf{u}(\mathbf{x}_n) \end{pmatrix} \quad \delta \mathbf{a} = \begin{pmatrix} \delta \mathbf{a}_1 \\ \delta \mathbf{a}_2 \\ \vdots \\ \delta \mathbf{a}_n \end{pmatrix} = \begin{pmatrix} \delta \mathbf{u}(\mathbf{x}_1) \\ \delta \mathbf{u}(\mathbf{x}_2) \\ \vdots \\ \delta \mathbf{u}(\mathbf{x}_n) \end{pmatrix}$$

resulta que

$$\sum_{i=1}^n \delta \mathbf{u}^T(\mathbf{x}_i) \mathbf{p}_i = \delta \mathbf{a}^T \mathbf{p} \quad \sum_{i=1}^n \delta \mathbf{u}^T(\mathbf{x}_i) \mathbf{q}_i = \delta \mathbf{a}^T \mathbf{q}.$$

Al reemplazar dichos términos en (4) y pasando la parte derecha de la ecuación a la parte izquierda, obtenemos:

$$t \iint_A \delta \mathbf{a}^T \mathbf{B}^T(\mathbf{x}) \boldsymbol{\sigma}(\mathbf{x}) \, dA - t \iint_A \delta \mathbf{a}^T \mathbf{N}^T(\mathbf{x}) \mathbf{b}(\mathbf{x}) \, dA - t \oint_{\partial A} \delta \mathbf{a}^T \mathbf{N}^T(\mathbf{x}(s)) \mathbf{t}(\mathbf{x}(s)) \, ds - \delta \mathbf{a}^T \mathbf{p} - \delta \mathbf{a}^T \mathbf{q} = 0.$$

En la ecuación anterior, el desplazamiento virtual es independiente de los integrandos de todas las integrales, por lo que sale de la integral y se factoriza para quedar:

$$\underbrace{\delta \mathbf{a}^T}_{\neq 0} \underbrace{\left[t \iint_A \mathbf{B}^T(\mathbf{x}) \boldsymbol{\sigma}(\mathbf{x}) \, dA - t \iint_A \mathbf{N}^T(\mathbf{x}) \mathbf{b}(\mathbf{x}) \, dA - t \oint_{\partial A} \mathbf{N}^T(\mathbf{x}(s)) \mathbf{t}(\mathbf{x}(s)) \, ds - \mathbf{p} - \mathbf{q} \right]}_{=0} = 0.$$

Si el producto punto anterior vale cero es porque $\delta \mathbf{a} = \mathbf{0}$ o porque el término entre corchetes es igual a $\mathbf{0}$. Lo primero no es cierto, ya que se sabe que el desplazamiento virtual $\delta \mathbf{a}$ representa el conjunto de todos los desplazamientos posibles de los nodos del EF, es decir, $\delta \mathbf{a}$ es un vector arbitrario. En consecuencia el término entre corchetes es cero y:

$$t \iint_A \mathbf{B}^T(\mathbf{x}) \boldsymbol{\sigma}(\mathbf{x}) \, dA - t \iint_A \mathbf{N}^T(\mathbf{x}) \mathbf{b}(\mathbf{x}) \, dA - t \oint_{\partial A} \mathbf{N}^T(\mathbf{x}(s)) \mathbf{t}(\mathbf{x}(s)) \, ds - \mathbf{p} - \mathbf{q} = \mathbf{0}.$$

Al reemplazar (3) en la ecuación anterior, se obtiene

$$t \iint_A \mathbf{B}^T(\mathbf{x}) (\mathbf{D}(\mathbf{x}) \mathbf{B}(\mathbf{x}) \mathbf{a} - \mathbf{D}(\mathbf{x}) \boldsymbol{\varepsilon}_0(\mathbf{x}) + \boldsymbol{\sigma}_0(\mathbf{x})) \, dA - t \iint_A \mathbf{N}^T(\mathbf{x}) \mathbf{b}(\mathbf{x}) \, dA - t \oint_{\partial A} \mathbf{N}^T(\mathbf{x}(s)) \mathbf{t}(\mathbf{x}(s)) \, ds - \mathbf{p} - \mathbf{q} = \mathbf{0},$$

es decir,

$$\underbrace{t \iint_A \mathbf{B}^T(\mathbf{x}) \mathbf{D}(\mathbf{x}) \mathbf{B}(\mathbf{x}) \, dA \mathbf{a}}_K - \underbrace{t \iint_A \mathbf{B}^T(\mathbf{x}) \mathbf{D}(\mathbf{x}) \boldsymbol{\varepsilon}_0(\mathbf{x}) \, dA}_{f_{\varepsilon_0}} - \underbrace{\left(-t \iint_A \mathbf{B}^T(\mathbf{x}) \boldsymbol{\sigma}_0(\mathbf{x}) \, dA \right)}_{f_{\sigma_0}} - \underbrace{t \iint_A \mathbf{N}^T(\mathbf{x}) \mathbf{b}(\mathbf{x}) \, dA}_{f_b} - \underbrace{t \oint_{\partial A} \mathbf{N}^T(\mathbf{x}(s)) \mathbf{t}(\mathbf{x}(s)) \, ds}_{f_t} - \mathbf{p} = \mathbf{q},$$

lo cual se expresa de forma compacta como:

$$\mathbf{K}^{(e)} \mathbf{a}^{(e)} - \mathbf{f}^{(e)} = \mathbf{q}^{(e)},$$

donde,

$\mathbf{K}^{(e)} = t \iint_A \mathbf{B}^T(\mathbf{x}) \mathbf{D}(\mathbf{x}) \mathbf{B}(\mathbf{x}) \, dA$	matriz de rigidez del elemento e .
$\mathbf{a}^{(e)}$	vector de desplazamientos nodales del elemento e .
$\mathbf{f}^{(e)} = \mathbf{f}_{\varepsilon_0}^{(e)} + \mathbf{f}_{\sigma_0}^{(e)} + \mathbf{f}_b^{(e)} + \mathbf{f}_t^{(e)} + \mathbf{p}^{(e)}$	vector de fuerzas nodales equivalentes del elemento e .
$\mathbf{q}^{(e)}$	vector de fuerzas nodales de equilibrio del EF e .
$\mathbf{f}_{\varepsilon_0}^{(e)} = t \iint_A \mathbf{B}^T(\mathbf{x}) \mathbf{D}(\mathbf{x}) \varepsilon_0(\mathbf{x}) \, dA$	vector de fuerzas nodales equivalentes del elemento e asociado a las deformaciones iniciales.
$\mathbf{f}_{\sigma_0}^{(e)} = -t \iint_A \mathbf{B}^T(\mathbf{x}) \sigma_0(\mathbf{x}) \, dA$	vector de fuerzas nodales equivalentes del elemento e asociado a los esfuerzos iniciales.
$\mathbf{f}_b^{(e)} = t \iint_A \mathbf{N}^T(\mathbf{x}) \mathbf{b}(\mathbf{x}) \, dA$	vector de fuerzas nodales equivalentes del elemento e asociado a las fuerzas másicas.
$\mathbf{f}_t^{(e)} = t \oint_{\partial A} \mathbf{N}^T(\mathbf{x}(s)) \mathbf{t}(\mathbf{x}(s)) \, ds$	vector de fuerzas nodales equivalentes del elemento e asociado a las fuerzas superficiales actuantes en el contorno del EF.
$\mathbf{p}^{(e)}$	vector de fuerzas puntuales aplicadas sobre los nodos del EF e .

Hay que destacar que estas expresiones son totalmente generales y, por consiguiente, aplicables a cualquier elemento finito bidimensional.

Finalmente, tenga en cuenta que las ecuaciones anteriores solo involucran hasta las derivadas primeras del desplazamiento; por lo tanto, es posible utilizar elementos finitos continuos de clase C_0 . Este requisito aplicará también para el caso tridimensional, pero no para el caso de vigas, placas y cascarones.

NOTA: la matriz $\mathbf{K}^{(e)}$ es simétrica y semi-positiva definida. Tiene tres valores propios nulo asociados con las dos translaciones rígidas y con la rotación. El rango de $\mathbf{K}^{(e)}$ es $2n - 3$; este rango puede disminuir si se integra la matriz numéricamente con integración reducida.